

## Прикладная статистика. Занятие 8. Регрессионный анализ, часть вторая.

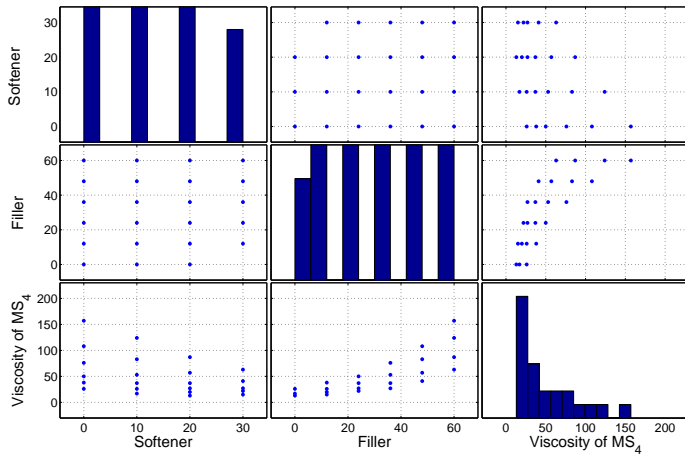
10 апреля 2012 г.

## Вязкость $MS_4$

Derringer GC, An empirical model for viscosity of filled and plasticized elastomer products (1974): исследовалась вязкость  $MS_4$  при  $100^{\circ}C$  при разных уровнях наполнителя и пластификатора.

Найти преобразование отклика, обеспечивающее хороший подбор модели первого порядка.



Вязкость  $MS_4$ 

$$\max Y / \min Y = 12.0769.$$

Вязкость  $MS_4$ 

Пусть имеются положительные значения отклика  $Y_1, Y_2, \dots, Y_n$ .

Если отношение наибольшего наблюдаемого  $Y$  к наименьшему превосходит 10, стоит рассмотреть возможность преобразования  $Y$ . В каком виде искать преобразование?

Часто полезно рассмотреть преобразования вида  $Y^\lambda$ , но оно не имеет смысла при  $\lambda = 0$ .

Вместо него можно рассмотреть преобразование вида

$$W = \begin{cases} (Y^\lambda - 1) / \lambda, & \lambda \neq 0; \\ \ln Y, & \lambda = 0, \end{cases}$$

но оно сильно варьируется по  $\lambda$ .

Вместо него можно рассмотреть преобразование вида

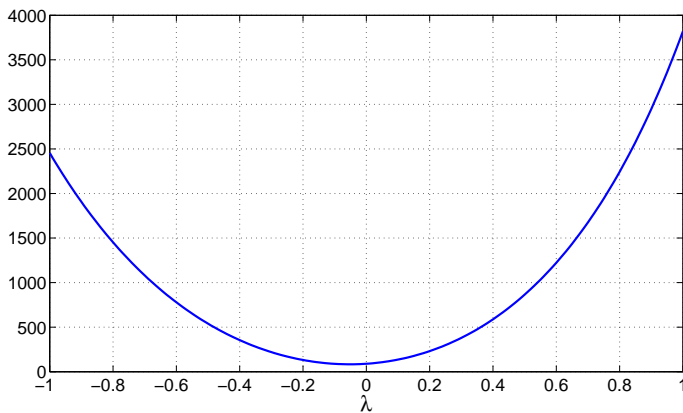
$$V = \begin{cases} (Y^\lambda - 1) / (\lambda \dot{Y}^{\lambda-1}), & \lambda \neq 0; \\ \dot{Y} \ln Y, & \lambda = 0, \end{cases}$$

где  $\dot{Y} = (Y_1 Y_2 \dots Y_n)^{1/n}$  — среднее геометрическое наблюдений.

Вязкость  $MS_4$ 

Процесс подбора  $\lambda$ :

- ❶ выбирается набор значений  $\lambda$  в некотором интервале, например,  $(-2; 2)$ ;
- ❷ для каждого значения  $\lambda$  выполняется преобразование отклика, строится регрессия, вычисляется остаточная сумма квадратов  $SSE$ ;
- ❸ строится график  $RSS(\lambda)$ , по нему определяется оптимальное значение  $\lambda$ ;
- ❹ выбирается ближайшее к оптимальному удобное значение  $\lambda$  (например, полуцелое);
- ❺ строится окончательная модель регрессии с откликом  $Y^\lambda$  или  $\ln Y$ .

Вязкость  $MS_4$ 

Выбираем  $\lambda = 0$ , т. е.,  $Y = \ln Y$ .

Вязкость  $MS_4$ 

Доверительный интервал для  $\lambda$  выбирается из уравнения

$$L(\hat{\lambda}) - L(\lambda) \leq \frac{1}{2} \chi^2_1(1 - \alpha),$$

где  $L(\lambda) = n \ln(RSS(\lambda)/n)$ .

Если он содержит единицу, возможно, не стоит выполнять преобразование.  
Если он содержит несколько удобных значений  $\lambda$ , то всё равно, какое из них выбирать.

Для нашей задачи 95% доверительный интервал  $-0.13 \leq \lambda \leq 0.03$ .

Итоговое уравнение:

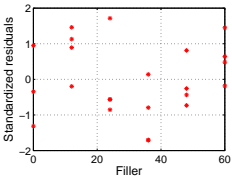
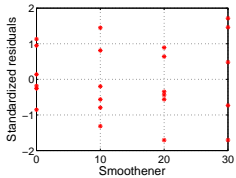
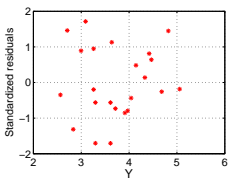
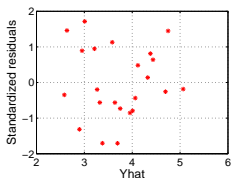
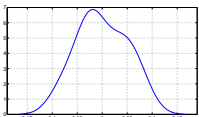
$\ln Y = 3.212 + 0.03088f - 0.03152p, F = 2045, p \approx 0, R^2 = 0.9951$   
(модель объясняет  $100R^2 = 99.51\%$  отклонения от среднего значения).

Без преобразования:

$Y = 28.184 + 1.55f - 1.717p, F = 72.9, p \approx 0, R^2 = 0.8793$  (модель объясняет  $100R^2 = 87.93\%$  отклонения от среднего значения).

# Вязкость $MS_4$

Особенно важно исследовать остатки.



## Содержание свободного хлора

Smith H, Dubey SD, Some reliability problems in the chemical industry (1964): исследование корпорации Procter & Gamble. Исследуется продукт A, в момент производства доля свободного хлора в нём должна составлять 0.5. Известно, что со временем содержание хлора в продукте снижается. За первые 8 недель содержание хлора снизится до 0.49, но в более поздние сроки из-за влияния большого количества неконтролируемых факторов теоретические расчёты не могут достаточно надёжно предсказать содержание свободного хлора. Для определения закона убывания концентрации свободного хлора она была измерена в 44 образцах на разных сроках хранения.

Была выдвинута гипотеза, что модель вида

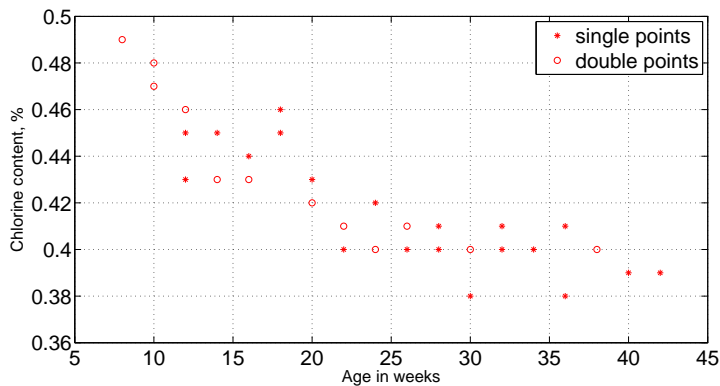
$$Y = \alpha + (0.49 - \alpha) e^{-\beta(X-8)} + \epsilon$$

описывает содержание хлора в продукте при  $X \geq 8$ .

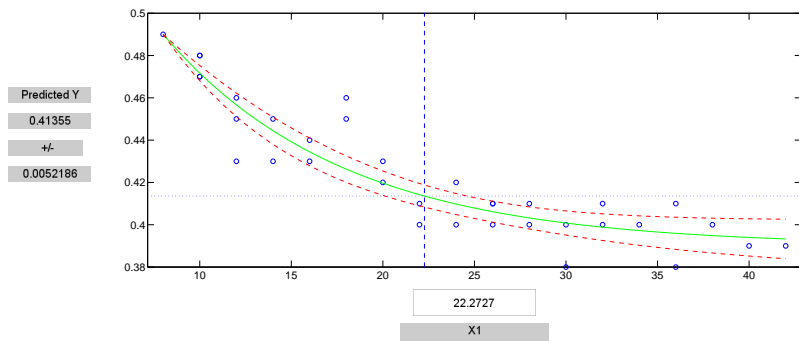
Требуется оценить параметры  $\alpha$  и  $\beta$  по данным.



## Содержание свободного хлора



## Содержание свободного хлора



$$\hat{\alpha} = 0.3901, \quad \hat{\beta} = 0.1016, \quad RSS = 0.00500168.$$

Что дальше?

## Содержание свободного хлора

Чистая ошибка  $\sigma^2$  — дисперсия  $\epsilon$ , может быть оценена по повторяющимся наблюдениям.

$Y_{11}, Y_{12}, \dots, Y_{1n_1}$  —  $n_1$  повторных наблюдений при  $X_1$ ;

$Y_{21}, Y_{22}, \dots, Y_{2n_2}$  —  $n_2$  повторных наблюдений при  $X_2$ ;

...

$Y_{m1}, Y_{m2}, \dots, Y_{mn_m}$  —  $n_m$  повторных наблюдений при  $X_m$ .

$$\hat{\sigma}^2 = \frac{S_{pe}}{n_e} = \frac{\sum_{j=1}^m \sum_{u=1}^n (Y_{ju} - \bar{Y}_j)^2}{\sum_{j=1}^m n_j - m}.$$

В нашем случае  $S_{pe} = 0.0024$ ,  $n_e = 26$ ;

$$\frac{RSS - S_{pe}}{44 - 2 - n_e} = 0.00016,$$

$$\frac{S_{pe}}{26} = 0.00009.$$

Формально  $F$ -критерий неприменим, но можно на него ориентироваться:

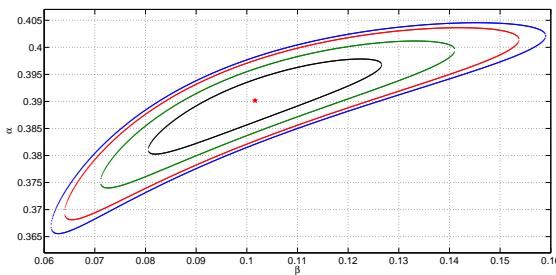
$F(16; 26; 0.95) = 2.08$ ,  $\frac{0.00016}{0.00009} = 1.8$  — можно надеяться, что модель подобрана хорошо.

## Содержание свободного хлора

Можно построить приблизительные  $100(1 - q)$ -процентные доверительные области для значений параметров  $\alpha$  и  $\beta$ , подбирая их из уравнения

$$\sum_{u=1}^n \left( Y_u - \hat{Y}_u \right)^2 = RSS \times \left( 1 + \frac{p}{n-p} F(p; n-p; 1-q) \right),$$

где  $p$  — число оцениваемых параметров,  $n$  — число точек в массивах  $X$  и  $Y$ ,  $F$  — распределение Фишера.



Синий контур —  $q = 0.005$ , красный —  $q = 0.01$ , зелёный —  $q = 0.05$ , чёрный —  $q = 0.25$ .

## Химический состав цемента

Woods H, Steinour HH, Starke HR, Effect of composition of Portland cement on heat involved during hardening (1932): измерено тепло, выделенное цементом при отвердевании (калорий на грамм цемента), а также количество в составе цемента трикальциум аллюмината, трикальциум силиката, тетракальциум аллюминиоферрита и дикальциум силиката.

Была подобрана полная линейная модель вида

$$Y = \beta_0 + \beta_1 X_1 + \beta_2 X_2 + \beta_3 X_3 + \beta_4 X_4.$$

Необходимо проверить гипотезу  $H_0: \beta_1 = \beta_3, \beta_2 = \beta_4$ .

## Химический состав цемента

Общая линейная гипотеза — гипотеза, содержащая одно или несколько утверждений о линейных комбинациях коэффициентов регрессии.

Примеры:

- модель  $E(Y) = \beta_0 + \beta_1 X_1 + \beta_2 X_2$ , гипотеза  $H_0: \beta_1 = 0, \beta_2 = 0$  — две линейно независимые функции;
- модель  $E(Y) = \beta_0 + \beta_1 X_1 + \beta_2 X_2 + \dots + \beta_k X_k$ , гипотеза  $H_0: \beta_1 = \beta_2 = \dots = \beta_k = \beta \Leftrightarrow H_0: \beta_1 - \beta_2 = 0, \beta_2 - \beta_3 = 0, \dots, \beta_{k-1} - \beta_k = 0$  —  $k - 1$  линейно независимых функций;
- общий случай: модель  $E(Y) = \beta_0 + \beta_1 X_1 + \beta_2 X_2 + \dots + \beta_k X_k$ , гипотеза  $H_0: \mathbf{C}\beta = 0$  —  $q$  линейно независимых функций,  $m - q$  являются линейными комбинациями.

## Химический состав цемента

Проверка общей линейной гипотезы:

$RSS_{full}$  — остаточная сумма квадратов исходной модели,  $n - p$  степеней свободы;

$RSS_{short}$  — остаточная сумма квадратов модели при справедливости общей линейной гипотезы,  $n - p + q$  степеней свободы.

$$\left( \frac{RSS_{short} - RSS_{full}}{q} \right) \Bigg/ \left( \frac{RSS_{full}}{n - p} \right) \sim F(q; n - p).$$

## Химический состав цемента

Матрица корреляций исходных признаков (Пирсона):

$r$	$X_1$	$X_2$	$X_3$	$X_4$
$X_1$	1.0000	0.2286	<b>-0.8241</b>	-0.2454
$X_2$	0.2286	1.0000	-0.1392	<b>-0.9730</b>
$X_3$	<b>-0.8241</b>	-0.1392	1.0000	0.0295
$X_4$	-0.2454	<b>-0.9730</b>	0.0295	1.0000

Полная модель:

$$Y = 62.4 + 1.55X_1 + 0.51X_2 + 0.102X_3 - 0.144X_4, \quad RSS = 47.8636.$$

Сокращённая модель:

$$Y = 241.1 - 1.106(X_1 + X_3) - 2.104(X_2 + X_4), \quad RSS = 2510.1032.$$

$$F = \left( \frac{2510.1032 - 47.8636}{2} \right) \Bigg/ \left( \frac{47.8636}{8} \right) = 205.7714, \quad p \approx 0.$$

Гипотеза  $H_0$  отвергается.

Прикладная статистика  
Семинар 8. Регрессионный анализ, часть вторая.

Рябенко Евгений  
[riabenko.e@gmail.com](mailto:riabenko.e@gmail.com)